



PERÚ

Ministerio
de la Producción



IMARPE
INSTITUTO DEL MAR DEL PERÚ

BOLETÍN SEMANAL OCEANOGRÁFICO Y BIOLÓGICO-PESQUERO

Año 11, N° 02

Semana 02: 05 – 11 de enero de 2026

RESUMEN

- La anomalía promedio de la temperatura superficial del mar (TSM), descendió 0,04 °C en la región Niño 3.4 (-0,63 °C) y ascendió 0,38 °C en la Región Niño 1+2 (-0,41 °C), con respecto a la semana anterior, de acuerdo al producto OSTIA.
- Las aguas cálidas con TSM mayor a 24 °C provenientes del norte, se proyectaron hacia la zona de Talara, determinando un incremento térmico de hasta 3,8 °C, asociado a una mayor influencia de las Aguas Tropicales Superficiales (ATS) frente a este sector. La banda de aguas costeras con TSM menor a 20 °C se replegó hacia la costa dentro de las 40-50 mn desde Paita hasta Atico, asociado al desplazamiento de las Aguas Ecuatoriales Superficiales (AES) hacia las costas de Chicama, y un mayor acercamiento de las Aguas Subtropicales Superficiales (ASS) hacia la costa; esto último favorecido por el debilitamiento de los vientos entre Paita y San Juan. Estas condiciones favorecieron al incremento puntual de las anomalías positivas de la TSM al norte de Paita y la normalización de la TSM hacia el sur.
- La información *in situ* a 30 mn frente a Paita, el 10 de enero, indicó la atenuación del enfriamiento sobre las capas más someras, a causa de la intromisión de las AES con TSM de 20,6 °C y una salinidad de 34,03 en superficie. En cambio, por debajo de los 15 m, predominaron anomalías negativas entre -2,3 °C y -0,5 °C hasta los 140 m.
- Durante la semana, la actividad pesquera de la anchoveta en la región Norte-Centro se caracterizó por la superposición de ejemplares adultos y juveniles, distribuidos principalmente dentro de las 40 mn desde Pimentel hasta Huarney, y en un pequeño núcleo frente a Callao; mientras que en la región Sur, se registró actividad sólo frente a Ilo dentro de las 10 mn y con predominio de juveniles.

PRONÓSTICO

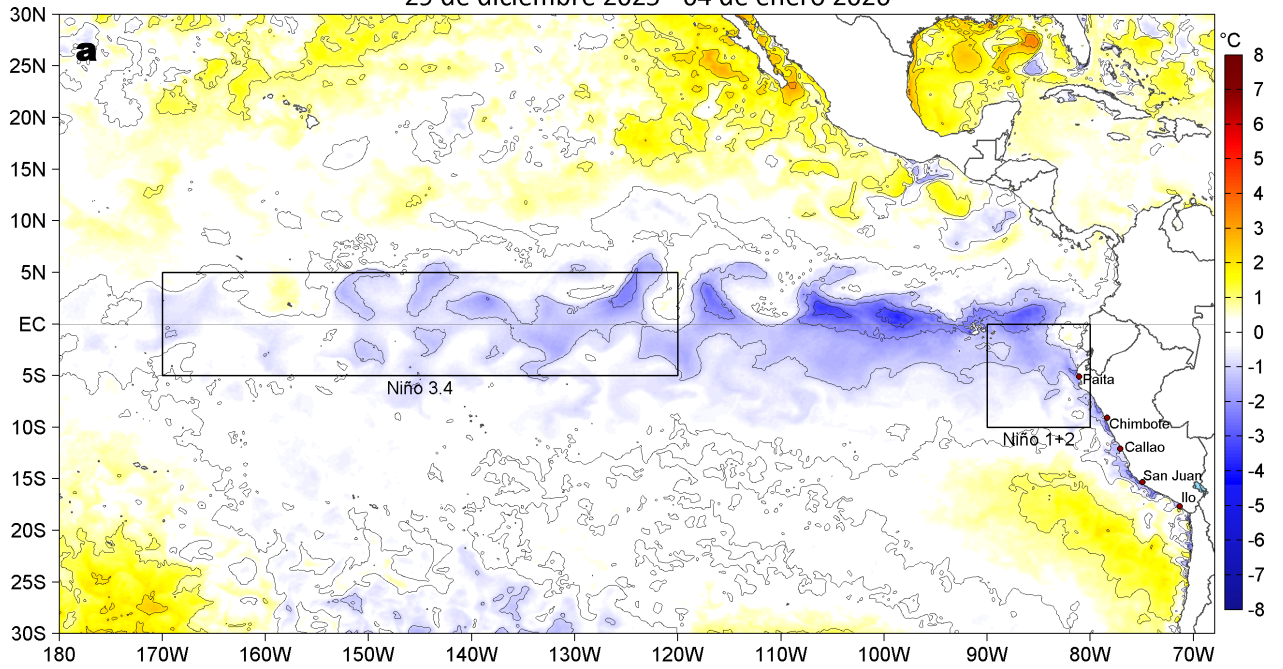
- Del 13 al 14 de enero del 2026, entre Máncora y San Juan y en el sector oceánico central, se espera que la Velocidad del Viento (VV) varíe entre el rango débil y moderado, aumentando al rango moderado y fuerte, entre el 15 y 18 de enero. Al sur de San Juan, se registrarían VV débiles a moderadas. Estas condiciones se reflejarían en el incremento paulatino de las anomalías positivas de VV, predominando en gran parte de la costa peruana y en el sector oceánico sur del 16 al 18 de enero.
- De acuerdo con el modelo MERCATOR, en la región Niño 1+2 se espera una atenuación seguida de una leve intensificación de las anomalías negativas de TSM, alcanzando -0,5 °C el 21 de enero.

Callao, lunes 12 de enero del 2026

Servicio de Información Oceanográfica del Fenómeno El Niño (SIOFEN)
Dirección General de Investigaciones en Oceanografía y Cambio Climático (DGIICC) y
Dirección General de Investigaciones de Recursos Pelágicos (DGIRP)
Instituto del Mar del Perú (IMARPE)

I. CONDICIONES DE MACROESCALA

Anomalías de la Temperatura Superficial del Mar (°C)
29 de diciembre 2025 - 04 de enero 2026



Anomalías de la Temperatura Superficial del Mar (°C)
05 - 11 de enero 2026

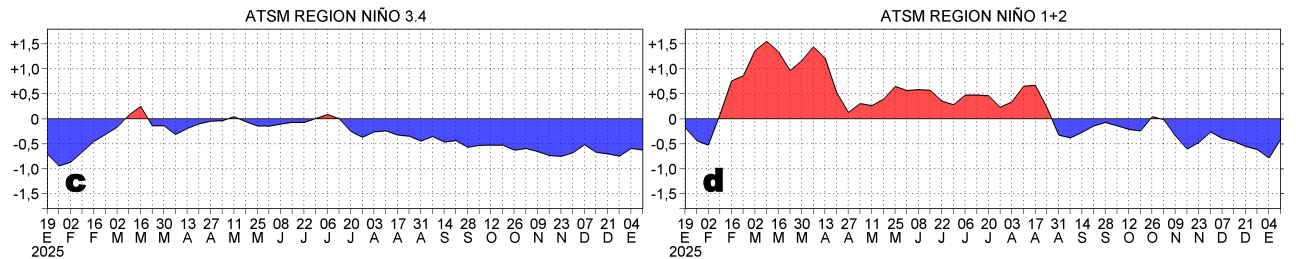
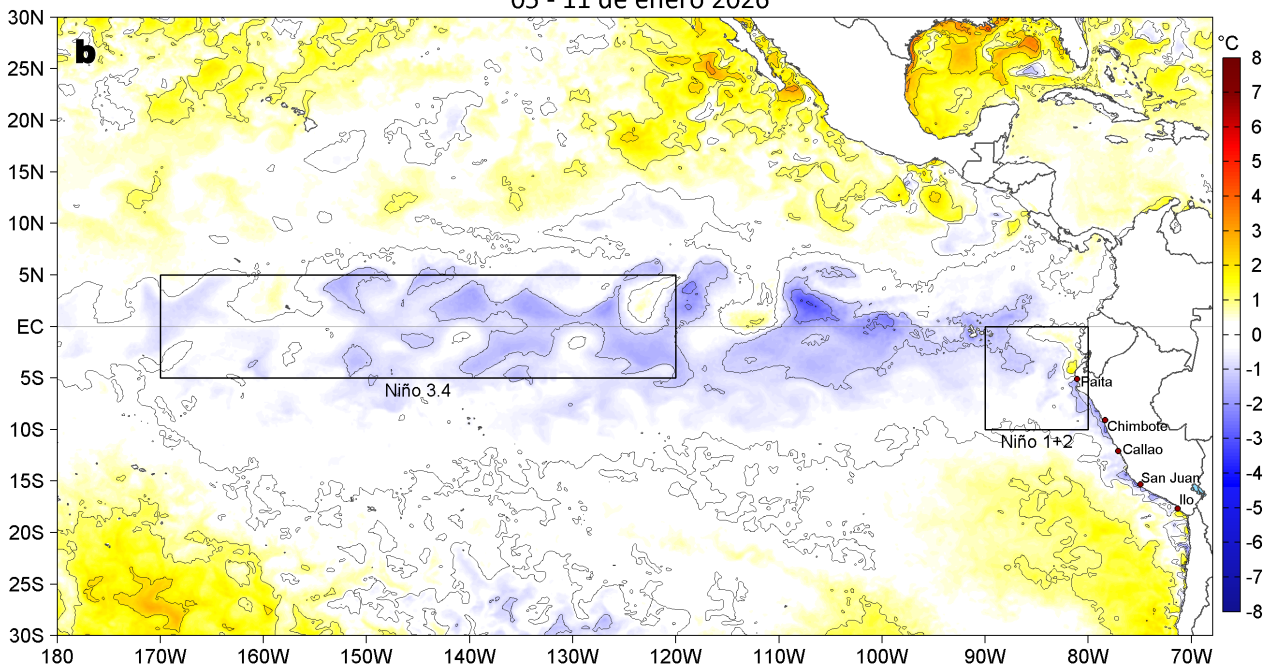


Figura 1. Anomalías promedio de la temperatura superficial del mar (TSM, °C) en el océano Pacífico tropical del 29 de diciembre del 2025 al 04 de enero del 2026 (a) y del 05 al 11 de enero del 2026 (b), así como la variación del promedio semanal durante el último año para la región Niño 3.4 (c) y la región Niño 1+2 (d). Las regiones Niño 3.4 y Niño 1+2 en los sectores central y oriental del océano, respectivamente, están delimitadas con una línea de color gris. Datos: OSTIA-UKMO-L4-GLOB-v2.0 (UK Met Office, 2012; Donlon et al, 2012). Climatología: 1991-2020.

II. CONDICIONES DE MESOESCALA

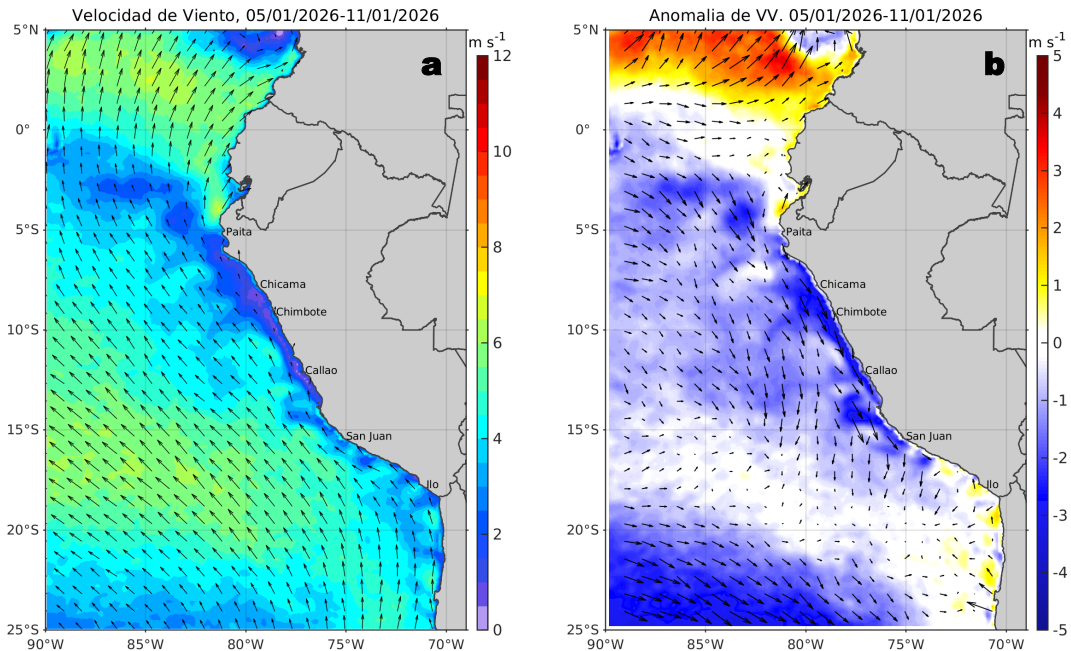


Figura 2. Distribución espacial promedio de: a) la velocidad (m/s) y dirección del viento (°) y b) anomalías de la velocidad (m/s) y dirección del viento (°) frente a la costa peruana del 05 al 11 de enero del 2026. La velocidad del viento y su anomalía se presentan en matices de colores a la derecha. La dirección del viento y su anomalía se presentan con flechas. Fuente de los datos: CMEMS. Climatología: 2000-2020.

Entre Máncora y Atico, en el sector oceánico y frente a la costa central, la velocidad del viento (VV) se mantuvo principalmente en el rango moderado (4,1 a 6,8 m/s), mientras que en la franja costera peruana y en la zona norte predominó una VV en el rango débil (<4,1 m/s). Frente a gran parte de la costa peruana se observaron intensas anomalías negativas de la VV, mientras que en los extremos norte y sur se registraron anomalías en el rango neutro.

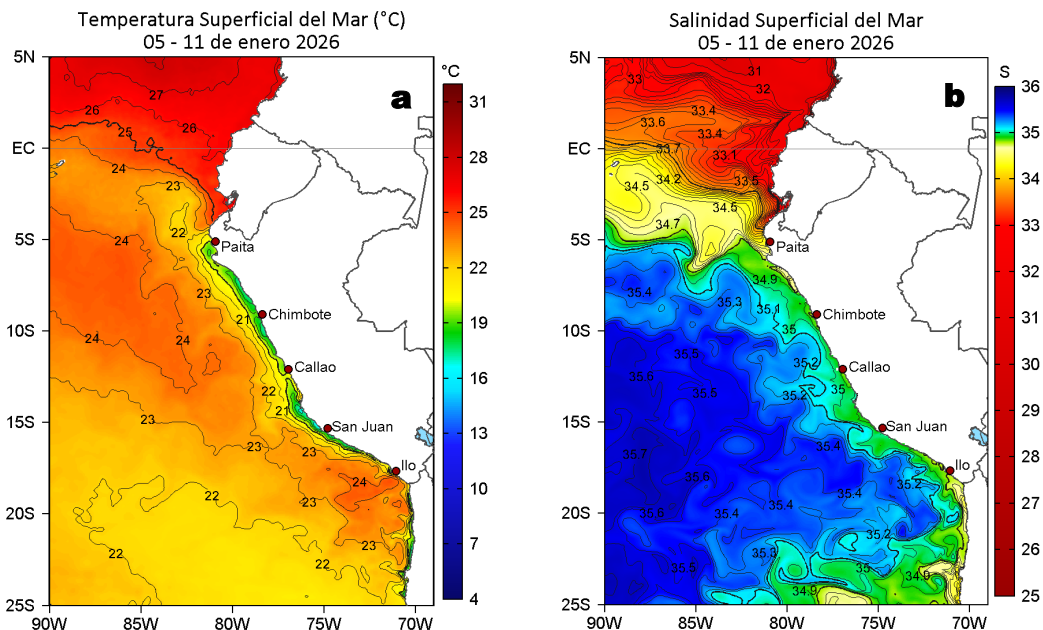


Figura 3. Distribución espacial promedio de la: a) Temperatura superficial del Mar (TSM, °C) y b) Salinidad superficial del mar (SSM) del 05 al 11 de enero del 2025. Datos: OSTIA-UKMO-L4-GLOB-v2.0 (UK Met Office, 2012; Donlon et al, 2012) para (a) y del GLOBAL_ANALYSISFORECAST_PHY_001_024 (Lellouche, J. M. et al, 2013) para (b).

La TSM en la franja adyacente al litoral peruano presentó valores entre 25,7 °C (Tumbes) y 16,2 °C (San Juan). Las aguas cálidas superiores a 24 °C provenientes del norte se proyectaron hacia Talara, mientras que, la banda costera de aguas con TSM menor a 20 °C se replegó en la zona costera dentro de las 40-50 mn desde Paíta hasta Atico, con una menor distribución de las aguas frías menores a 17 °C (Figura 3a). Según el modelo MERCATOR (Figura 3b), las Aguas Tropicales Superficiales (ATS; SSM < 33,8) ampliaron su influencia al norte de Paíta, mientras que, las Aguas Ecuatoriales Superficiales (AES; 33,8 < SSM < 34,8) continuaron proyectándose al sur, alcanzando las costas de Chicama. Las Aguas Subtropicales Superficiales (ASS; SSM > 35,1) se aproximaron hacia la costa, generando el replegue costero de las aguas costeras frías (ACF; 34,8 < SSM < 35,1), principalmente frente a la costa central.

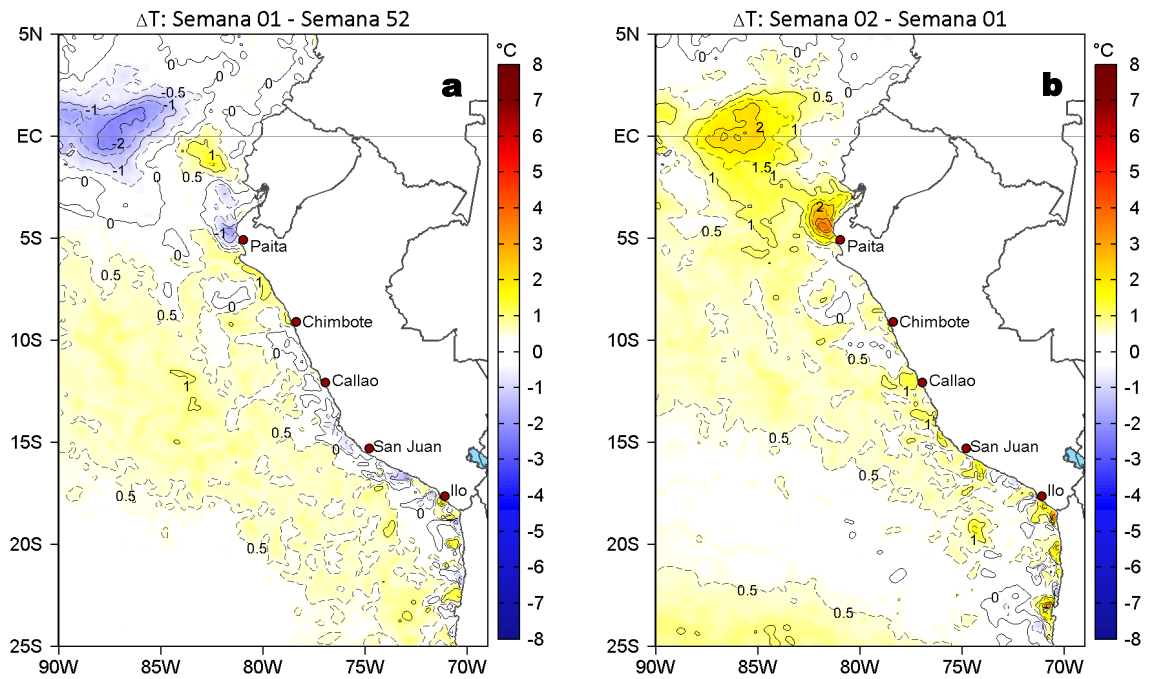


Figura 4. Variación semanal de la TSM ($^{\circ}\text{C}$) en el océano Pacífico tropical oriental entre: a) primera (29 de diciembre - 04 de enero) semana de 2026 y quincuagésima segunda (22 - 28 de diciembre) semana de 2025 y b) segunda (05 - 11 de enero) y primera (29 de diciembre - 04 de enero) semana de 2026. Los mapas, que indican el grado de calentamiento o enfriamiento de una semana a otra, provienen de OSTIA-UKMO-L4-GLOB-v2.0 (UK Met Office, 2012; Donlon et al, 2012).

Con respecto a la semana anterior (Figura 4b), la TSM en general se incrementó, con una mayor intensidad al noroeste de Paíta (3,8 $^{\circ}\text{C}$), mientras que, al sur de este punto destacó un leve incremento entre 0,5 $^{\circ}\text{C}$ y 1 $^{\circ}\text{C}$.

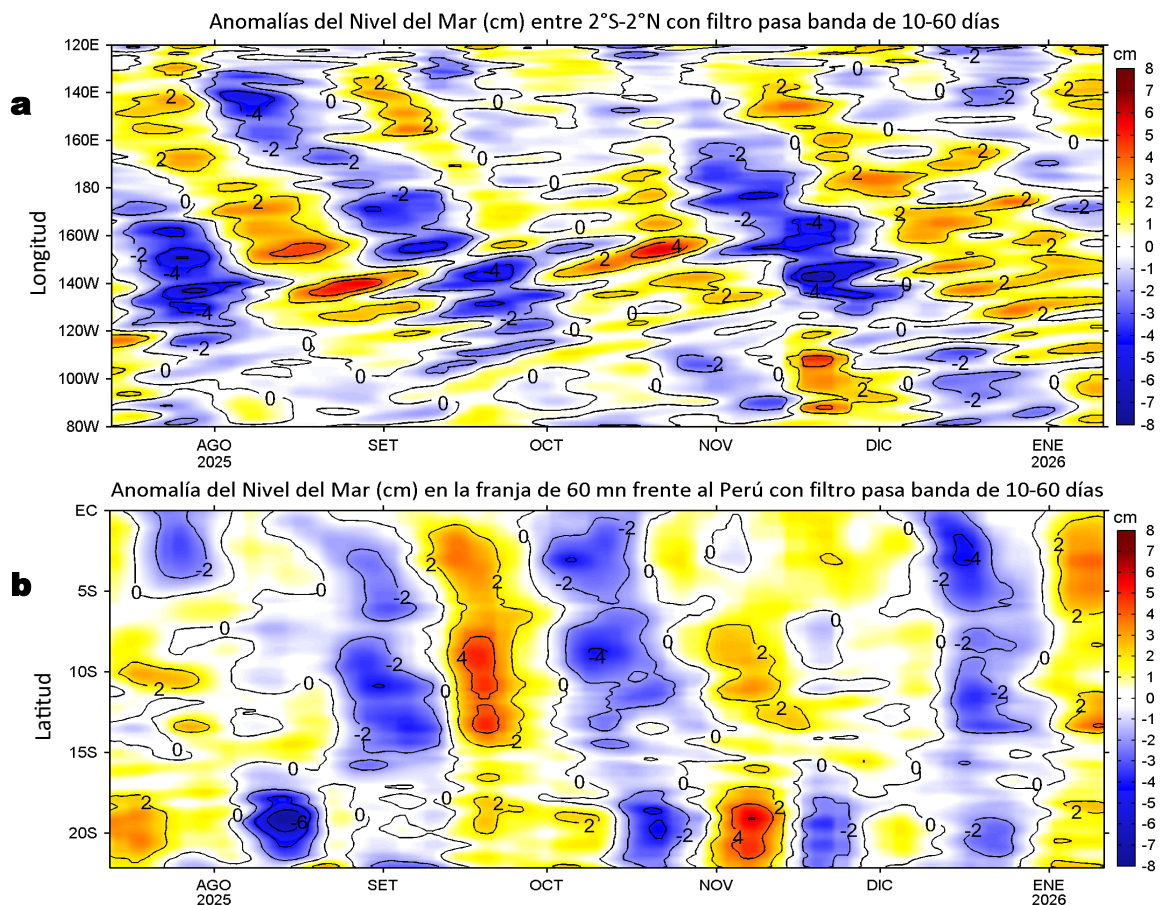


Figura 5. Anomalías diarias del nivel del mar (cm) con filtro pasa banda de 10-60 días para: a) la franja de 2°S-2°N en el Pacífico ecuatorial y b) la franja de 60 mn adyacente a la costa entre el ecuador geográfico y 22°S, actualizado al 11 de enero del 2026. Datos: CMEMS-DUACS. Climatología: 1993-2020.

En el Pacífico ecuatorial, la cobertura de las anomalías del nivel del mar (ANM) filtradas positivas asociada a la propagación de una onda Kelvin (OK) cálida sugieren el inicio de su arribo hacia la costa norte peruana. Mientras que, frente a la costa centro y sur, el incremento de las ANM filtradas positivas estaría asociado al acercamiento de las aguas oceánicas a causa del debilitamiento de los vientos.

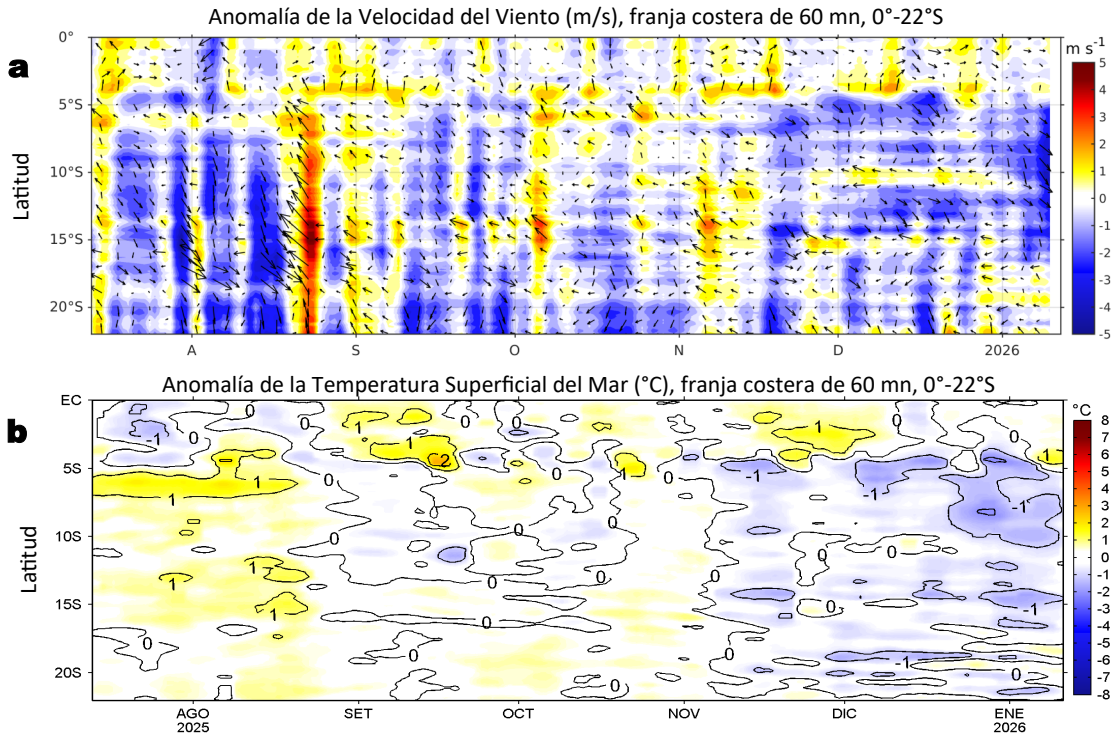


Figura 6. Evolución de las anomalías diarias de: a) Velocidad del viento (m/s) y b) TSM (°C) de julio del 2025 al 11 de enero del 2026. Datos: CMEMS para (a) y OSTIA-UKMO-L4-GLOB-v2.0 para (b). Las anomalías fueron calculadas para una franja de 60 mn adyacente a la costa entre el ecuador geográfico y 20°S para (a) y 22°S para (b), según los promedios diarios de 2000-2020 para (a) y de 1991-2020 para (b). La barra de colores a la derecha muestra la escala de las anomalías en cada caso.

En la franja costera, entre Paita y San Juan de Marcona, se registraron intensas anomalías negativas de la VV, mientras en los extremos sur y norte se observaron anomalías positivas dentro del rango neutro (Figura 6a). En paralelo se registró el incremento puntual de las anomalías positivas de la TSM al norte de Paita y la normalización de la TSM hacia el sur; esto último asociado al acercamiento de las aguas del oeste hacia la costa (Figura 6b).

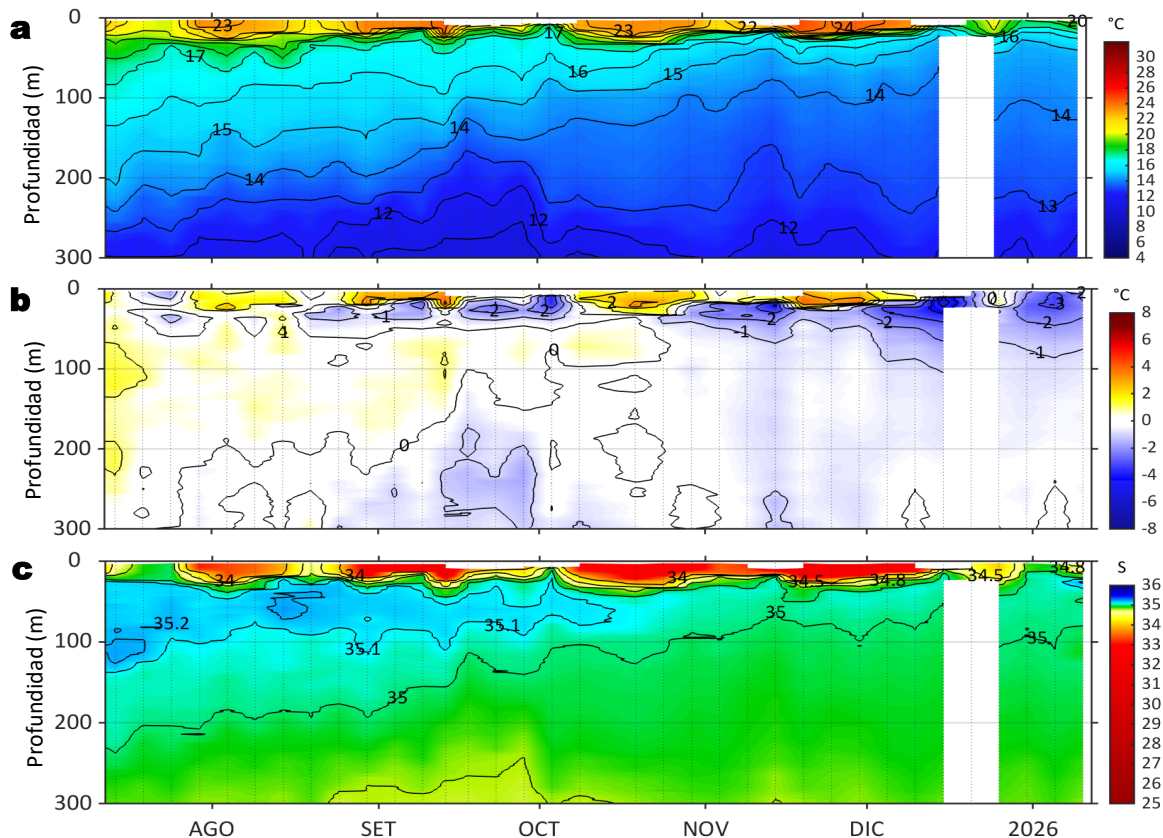


Figura 7. Diagrama Hovmöller de: a) Temperatura del mar (°C), b) Anomalías térmicas (°C) y c) Salinidad del mar registrados por el perfilador ARGO No. 6903002, a 30 mn (5,41°S y 81,64°W) frente a Paita el 10 de enero del 2026. Las anomalías térmicas se calculan de acuerdo a Domínguez et al (2023). Los puntos en la columna de agua indican los días en que el perfilador registró información. Datos: ARGO.

A 30 mn frente a Paita el 10 de enero, se registró una TSM de 20,6 °C con una anomalía de -0,7 °C, y una salinidad de 34,03 en superficie. En la columna de agua, se observaron anomalías entre -2,3 °C (a 15 m) y -0,5 °C sobre los 140 m.

III. ÍNDICES CLIMÁTICOS Y BIOLÓGICO-PESQUERO

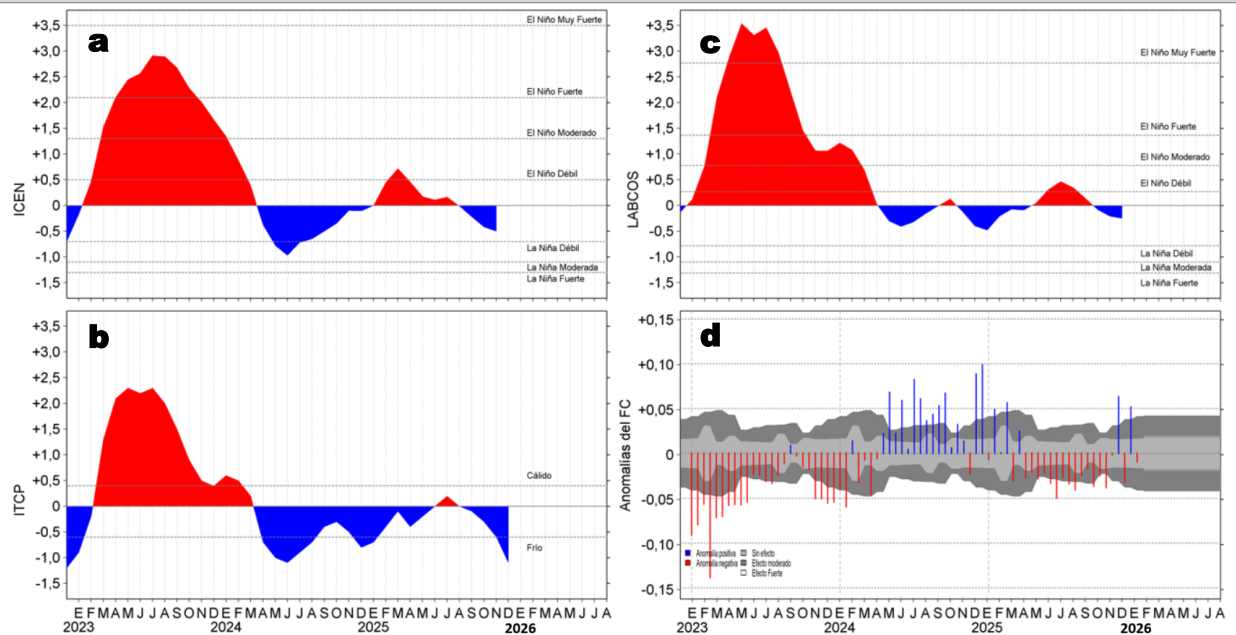


Figura 8. Series de tiempo de: a) Índice Costero El Niño (ICEN; ENFEN, 2024), b) Índice Térmico Costero Peruano (ITCP; Quispe et al., 2016), c) índice de Laboratorios Costeros (LABCOS; Quispe y Vásquez, 2015) y d) Anomalías del índice del factor de condición (AFC) de la anchoveta peruana *Engraulis ringens* (Cuba et al., 2019) desde diciembre 2022 hasta diciembre del 2025.

Los valores preliminares del índice LABCOS y el ITCP para diciembre alcanzaron -0,25 y -1,1, manteniendo la tendencia al descenso, aunque aún dentro de una condición neutra para el LABCOS y el cambio hacia una condición fría para el ITCP (Figura 8 b y c). Con respecto a la condición somática de la anchoveta *Engraulis ringens*, en la primera semana de enero la anomalía del factor de condición disminuyó, pasando de una anomalía positiva de efecto fuerte a una anomalía negativa sin efecto (Figura 8d).

IV. ASPECTOS BIOLÓGICO-PESQUEROS

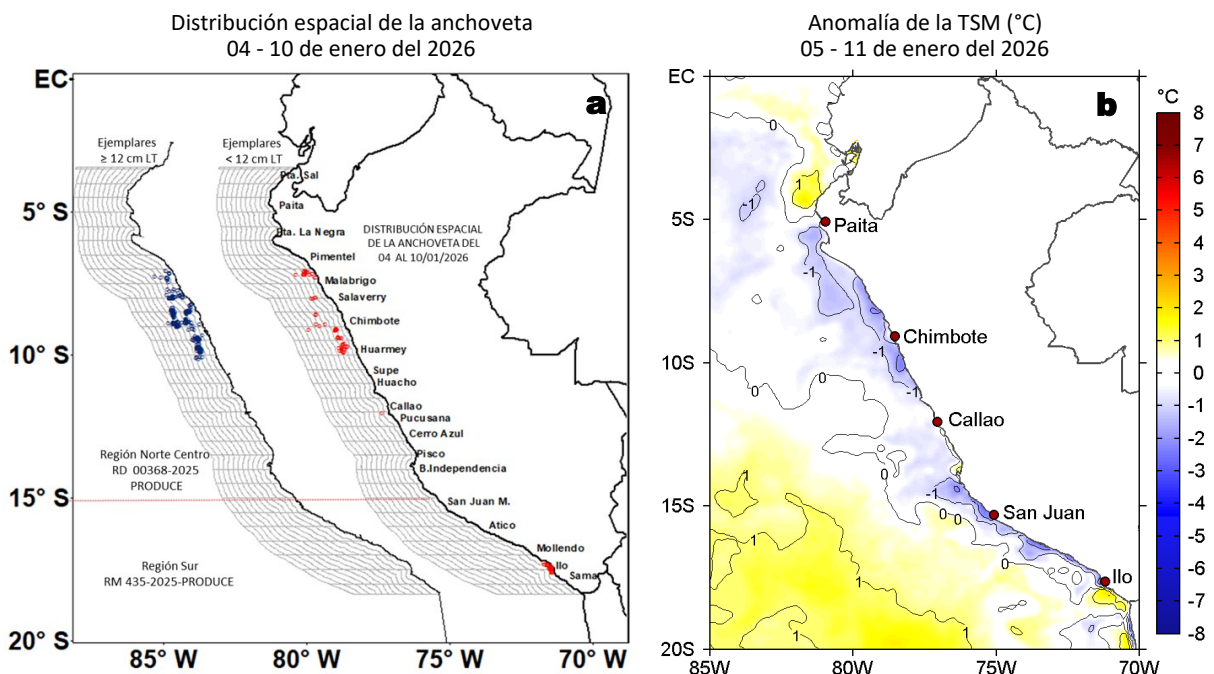


Figura 9. a) Distribución de la anchoveta según porcentaje de juveniles por región y su relación con b) las anomalías térmicas (°C) para la semana del 05 al 11 de enero del 2026. Datos: OSTIA-UKMO-L4-GLOB-v2.0 (UK Met Office, 2012; Donlon et al, 2012). Las anomalías térmicas se calcularon con respecto de la climatología para el período 1991-2020.

La actividad pesquera de la anchoveta en la región Norte-Centro durante esta semana, se concentró principalmente dentro de las 40 mn desde Pimentel a Huarney y en un pequeño núcleo frente a Callao dentro de las 10 mn, aunque en la zona entre Salaverry y Chimbote alcanzó las 60 mn. En la región Sur, se registró actividad focalizada frente a Ilo dentro de las 10 mn con predominio de juveniles (Figura 9a). Estas zonas se caracterizaron por la predominancia de anomalías térmicas negativas que alcanzaron -1,8 °C (Huanchaco), aunque de una intensidad menor a la semana previa (Figura 9b).

V. PRONÓSTICO

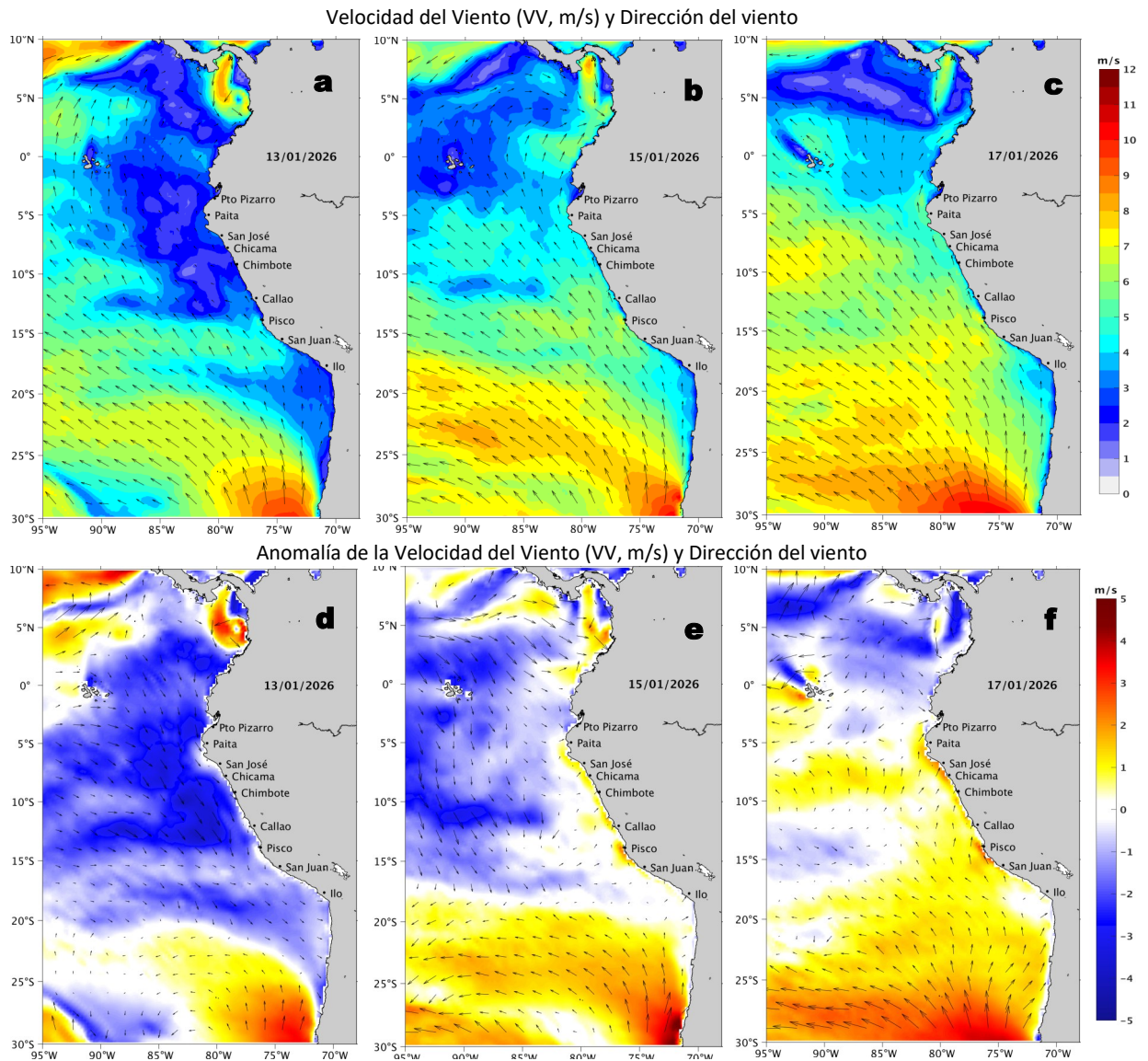


Figura 10. Distribución espacial del pronóstico de la velocidad del viento (VV, m/s) y dirección del viento ($^{\circ}$), así como para sus anomalías para los días a) 13, b) 15 y c) 17 de enero de 2026, frente a la costa sudamericana entre Centroamérica y la costa norte de Chile. Fuente: Modelo Climate Forecast System (GFS) de la NOAA. Climatología: 2000-2020.

Del 13 al 14 de enero del 2026, entre Máncora y San Juan de Marcona y en el sector oceánico central, se espera que la velocidad del viento (VV) varíe entre los rangos débil y moderado, aumentando entre los días 15 y 18 de enero a rangos moderado y fuerte. En la costa al sur de San Juan de Marcona, persistirían VV débiles a moderadas. Del 13 al 15 de enero, se prevén anomalías negativas de VV en el sector oceánico central, con algunas anomalías positivas en la franja costera el día 15. Finalmente, del 16 al 18 de enero, se esperan anomalías positivas de la VV frente a gran parte de la costa peruana y en el sector oceánico sur.

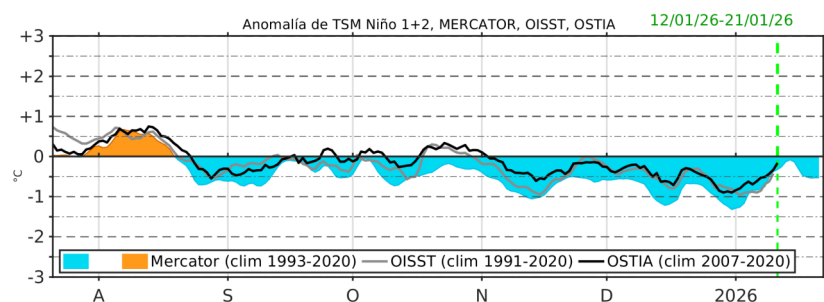


Figura 11. Series de tiempo de la anomalía de TSM diaria en la región Niño 1+2, obtenidas a partir del modelo MERCATOR a escala diaria (sombreado celeste y naranja), el producto OISST (línea gris) y el producto OSTIA (línea negra), a partir del promedio climatológico de 1993-2020, 1991-2020 y 2007-2020, respectivamente. La línea discontinua vertical de color verde indica la fecha de inicio del pronóstico de las anomalías de TSM según MERCATOR.

De acuerdo con el modelo MERCATOR, en la región Niño 1+2, hasta el 21 de enero de 2026 se espera primero la atenuación y después una ligera intensificación de las anomalías negativas de TSM, alcanzando un valor de $-0,5^{\circ}\text{C}$.

Condiciones iniciales: 01 - 09 de enero, 2026

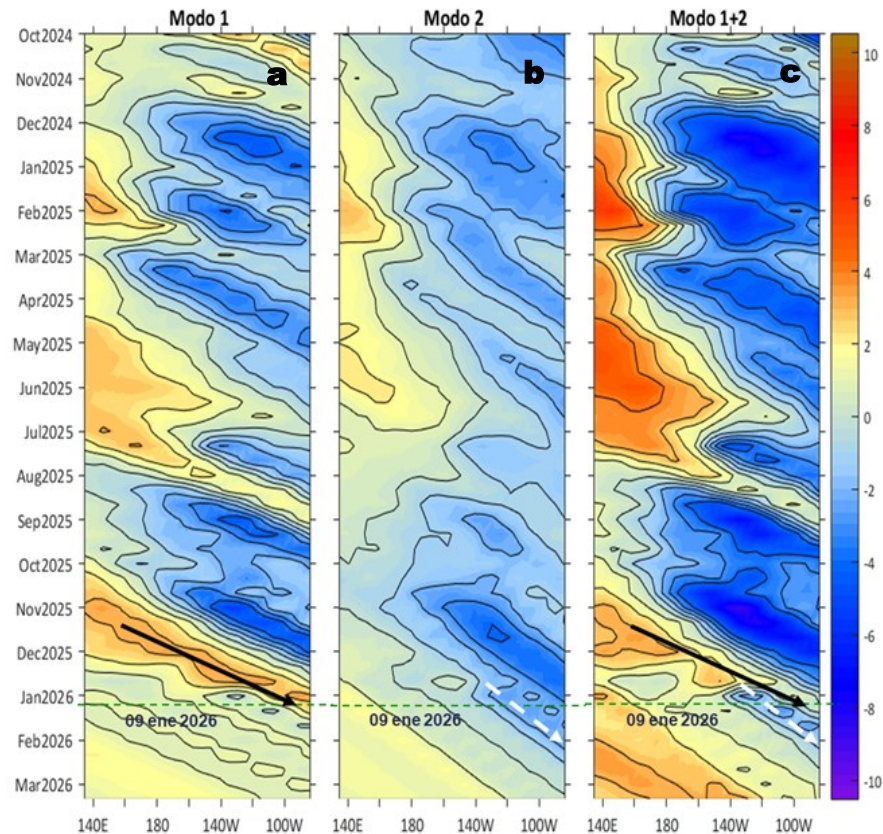


Figura 12. Diagramas Hovmöller longitud-tiempo de las ondas Kelvin ecuatoriales (OKE) en el océano Pacífico ecuatorial entre 130°E y 95°W y en la banda entre 1°N-1°S, forzado con anomalías del esfuerzo del viento (N/m^2) del NCEP (Kalnay et al., 1996) de acuerdo con la metodología de Illig et al. (2004) y Dewitte et al. (2002): a) Modo 1, b) Modo 2 y c) Modos 1+2. La línea discontinua horizontal de color verde indica la fecha del inicio del pronóstico con anomalías del esfuerzo del viento igual a cero. Los valores negativos corresponden a ondas Kelvin de afloramiento (frías) y están representadas por flechas discontinuas de color blanco. Los valores positivos corresponden a ondas Kelvin de hundimiento (cálidas) cuya propagación está representada por flechas de color negro sólido (modo 1) y discontinuo (modo 2). Datos del modelo: LMOECC/AFIOF/DGIOCC/IMARPE.

La última simulación del modelo de OK ecuatoriales implementado en el IMARPE, forzada con anomalías del esfuerzo del viento ecuatorial superficial obtenidas del NCEP al 09.01.2026, indica que la OK ecuatorial cálida (modo 1), mencionada en el BS OBP N.º 43-2025, habría iniciado su arribo al extremo oriental del Pacífico ecuatorial. Por otro lado, debido a las anomalías recientes de vientos del este observadas en la base de datos NCEP1, existe la posibilidad de la generación de una OK ecuatorial fría (modo 2) en la región oriental, la cual alcanzaría el extremo oriental del Pacífico ecuatorial entre enero y febrero de 2026.

RECONOCIMIENTOS

The Group for High Resolution Sea Surface Temperature (GHRSSST) Multi-scale Ultra-high Resolution (MUR) Level 4 OSTIA Global Foundation Sea Surface Temperature Analysis (GDS version 2). Ver. 2.0 data were obtained from the NASA EOSDIS Physical Oceanography Distributed Active Archive Center (PO.DAAC) at the Jet Propulsion Laboratory, Pasadena, CA (<http://dx.doi.org/10.5067/GHGMR-4FJ01>).

IFREMER/CERSAT. 2005. ERS-1 Level 3 Gridded Mean Wind Fields (IFREMER). Ver.1.PO.DAAC, CA, USA (<ftp://anonymous@ftp.ifremer.fr/ifremer/cersat/products/gridded/mwf-ers1>).

The Ssalto/Duacs altimeter products were produced and distributed by the Copernicus Marine and Environment Monitoring Service (CMEMS) (<https://data.marine.copernicus.eu/products>).

The products from the MERCATOR OCEAN system distributed through the Marine Copernicus Service (<https://data.marine.copernicus.eu/products>).

The Pacific Islands Ocean Observing System (PacIOOS) is funded through the National Oceanic and Atmospheric Administration (NOAA) as a Regional Association within the U.S. Integrated Ocean Observing System (IOOS). PacIOOS is coordinated by the University of Hawaii School of Ocean and Earth Science and Technology (SOEST).

Las anomalías del índice de factor de condición fueron determinadas a partir de información brindada por el Laboratorio de Biología Reproductiva de la sede central de IMARPE.

Este boletín es una acción del Programa Presupuesto Por Resultados - PPR 068 El Niño "Reducción de Vulnerabilidad y Atención de Emergencias por Desastres" y su producto "Entidades Informadas en forma permanente y con pronósticos frente al Fenómeno El Niño" del IMARPE.

REFERENCIAS

- Cuba, A., Sánchez, J., Mori, J., & Chávez, G. (2019). Anomalías de los índices reproductivos fracción desovante e índice gonadosomático de anchoveta peruana *Engraulis ringens* (Jenyns, 1842) del stock norte-centro del Perú en relación a El Niño Costero 2017. *The Biologist*, 17(2).
- Dewitte B., D. Gushchina, Y. du Penhoat and S. Lakeev, 2002: On the importance of subsurface variability for ENSO simulation and prediction with intermediate coupled models of the Tropical Pacific: A case study for the 1997-1998 El Niño. *Geoph. Res. Lett.*, vol. 29, no. 14, 1666, 10.1029/2001GL014452.
- Donlon, C. J, M. Martin, J. Stark, J. Roberts-Jones, E. Fiedler, W. Wimmer, 2012. The Operational Sea Surface Temperature and Sea Ice Analysis (OSTIA) system. *Remote Sen. Env.*, 116, 140-158.
- ENFEN, 2024. Definición operacional de los eventos El Niño Costero y La Niña Costera en el Perú. Nota Técnica. <https://enfen.imarpe.gob.pe/download/nota-tecnica-enfen-01-2024-definicion-operacional-de-los-eventos-el-nino-costero-y-la-nina-costera-en-el-peru/?wpdmdl=1905&ind=1733921744133>
- ENFEN, 2025. Informe Técnico ENFEN. Año 11, N° 14, 16 de diciembre del 2025, 98 p. <https://enfen.imarpe.gob.pe/download/informe-tecnico-enfen-ano-11-n14-al-16-de-diciembre-de-2025/?wpdmdl=1973&ind=1766113177421>
- Hobday, A. J., Alexander, L. V., Perkins, S. E., Smale, D. A., Straub, S. C., Oliver, E. C. J., ... Wernberg, T. (2016). A hierarchical approach to defining marine heatwaves. *Progress in Oceanography*, 141, 227–238. doi:10.1016/j.pocean.2015.12.014
- Illig, S., B. Dewitte, N. Ayoub, Y. du Penhoat, G. Reverdin, P. De Mey, F. Bonjean and G. S. E. Lagerloef, 2004: Interannual Long Equatorial Waves in the Tropical Atlantic from a High Resolution OGCM Experiment in 1981-2000, *Journal of Geophysical Research*, 109, C02022, doi:10.1029/2003jc001771.
- Kalnay, E., M. Kanamitsu, R. Kistler, W. Collins, D. Deaven, L. Gandin, M. Iredell, S. Saha, G. White, J. Woollen, Y. Zhu, A. Leetmaa, B. Reynolds, M. Chelliah, W. Ebisuzaki, W. Higgins, J. Janowiak, K. Mo, C. Ropelewski, J. Wang, R. Jenne, and D. Joseph, 1996: The NCEP/NCAR 40-Year Reanalysis Project. *Bull. Amer. Meteor. Soc.*, 77, 437–471.
- Kobayashi S, Ota Y, Harada Y, Ebata A, Moriya M, Onoda H, Onogi K, Kamahori H, Kobayashi C, Endo H, Miyaoka K, Takahashi K (2015) The JRA-55 reanalysis: general specifications and basic characteristics. *J Meteor Soc Jpn* 93: 5–48.
- Lellouche, J.-M., Le Galloudec, O., Drévillon, M., Régnier, C., Greiner, E., Garric, G., Ferry, N., Desportes, C., Testut, C.-E., Bricaud, C., Bourdallé-Badie, R., Tranchant, B., Benkiran, M., Drillet, Y., Daudin, A., and De Nicola, C.: Evaluation of global monitoring and forecasting systems at Mercator Océan, *Ocean Sci.*, 9, 57-81, 2013.
- Perea, A., B. Buitrón, J. Mori, J. Sánchez, C. Roque, 2015. Anomalías de los Índices reproductivos de anchoveta *Engraulis ringens* en relación al ambiente. En: *Boletín Trimestral Oceanográfico*, Volumen 1, Números 1-4, pp.: 27-28.
- Pietri, A., Colas, F., Mogollon, R., J. Tam & D. Gutierrez. Marine heatwaves in the Humboldt current system: from 5-day localized warming to year-long El Niños. *Sci Rep* 11, 21172 (2021). <https://doi.org/10.1038/s41598-021-00340-4>
- Quispe Ccallauri, C, J. Tam, H. Demarcq, C. Romero, D. Espinoza, A. Chamorro, J. Ramos, R. Oliveros, 2016. El Índice Térmico Costero Peruano. En: *Boletín Trimestral Oceanográfico*, Volumen 2, Número 1, pp: 7-11.
- Quispe-Ccalluari C, Tam J, Arellano C, Chamorro A, Espinoza-Morriberón D, Romero C, Ramos J. 2015. Desarrollo y aplicación de índices y simulaciones para la vigilancia y el pronóstico a mediano plazo del impacto del ENOS frente a la costa peruana. *Inf. Inst. Mar Perú*, Vol. 44(1):28-34. <https://biblioiimarpe.imarpe.gob.pe/handle/20.500.12958/3149>
- Quispe, J. y L. Vásquez, 2015. Índice “LABCOS” para la caracterización de evento El Niño y La Niña frente a la costa del Perú, 1976-2015. En: *Boletín Trimestral Oceanográfico*, Volumen 1, Números 1-4, pp.: 14-18.



El Boletín Semanal Oceanográfico y Biológico-Pesquero (BS-OBP) presenta la evolución de variables físicas en el océano y la atmósfera, de la estructura físico-química del océano frente a la costa norte-centro del Perú en un contexto temporal de corto plazo y en un marco local-regional. El objetivo del BSOBP es comprender los efectos de la variabilidad de macroescala y regional de corto plazo en las condiciones oceanográficas y biológico-pesqueras del mar peruano. Esta información se sustenta en las redes observacionales in situ que administra el IMARPE y que se ha fortalecido en el marco del Programa Presupuesto Por Resultados - PPR 068 El Niño “Reducción de Vulnerabilidad y Atención de Emergencias por Desastres” y su producto “Entidades Informadas en forma permanente y con pronósticos frente al Fenómeno El Niño” del Estado Peruano. Asimismo, esta información local se complementa con un repertorio de productos satelitales y con mediciones directas de equipamiento de programas y proyectos internacionales con el fin de lograr un análisis integrado del estado del océano. El BS-OBP, asimismo, pretende informar de forma oportuna y permanente sobre el estado del océano a diferentes grupos de interés y sociedad en general y contribuir a mejorar el conocimiento del mar peruano y coadyuvar a la gestión del riesgo de desastres del Estado Peruano.

Servicio de Información Oceanográfica del Fenómeno El Niño (SIOFEN)
Instituto del Mar del Perú (IMARPE)



IMARPE (2026). Boletín Semanal Oceanográfico y Biológico-Pesquero N°02-2026, 05 - 11 de enero de 2026, Callao, Instituto del Mar del Perú.

<https://siofen.imarpe.gob.pe/boletines-e-informes/BS-OBP>

Colaboradores: Katherine Vásquez, Dimitri Gutiérrez, Daniel Camarena, Tony Anculle, Carlos Quispe, Javier Sánchez, Dany Ulloa, Cecilia Peña y Jorge Quispe.

© 2026 Instituto del Mar del Perú

Suscripciones: Complete [este formulario](#) o escriba a siofen@imarpe.gob.pe.

Consultas:

Servicio de Información Oceanográfica del Fenómeno El Niño, SIOFEN
Laboratorio de Hidrofísica Marina/AFIOF
Dirección General de Investigaciones Oceanográficas y Cambio Climático
Instituto del Mar del Perú
Esquina Gamarra y General Valle S/N, Chucuito, Callao - Perú.
Correo electrónico: siofen@imarpe.gob.pe.
Teléfono: (51 1) 904 0137 (Extensión 824).

Foto en la portada: Mar peruano (© M. Sarmiento/IMARPE).